

МИНИСТЕРСТВО ОБРАЗОВАНИЯ И НАУКИ РФ
УНИВЕРСИТЕТ ИТМО

ФАКУЛЬТЕТ СИСТЕМ УПРАВЛЕНИЯ И РОБОТОТЕХНИКИ

Лабораторная работа №8:
«Модальные регуляторы и наблюдатели»
по дисциплине Теория автоматического управления

Вариант №9

Выполнил: Студент группы
R33362 Осинина Т. С
Преподаватель: Перегудин А.А.

Санкт-Петербург, 2023

Задание №1

Возьмите матрицы A и B из таблицы 1 в соответствии с вашим вариантом и рассмотрите систему:

$$\dot{x} = Ax + Bu$$

Выполните следующие шаги и приведите в отчёте результаты всех вычислений, схемы моделирования, графики и выводы:

- Найдите собственные числа матрицы A и определите управляемость каждого из них. Сделайте вывод об управляемости и стабилизируемости системы.
- Постройте схему моделирования системы $\dot{x} = Ax + Bu$ с регулятором $u = Kx$.
- Для каждого желаемого спектра матрицы $A + BK$ из таблицы 1:
 - Найдите соответствующую матрицу регулятора K.
 - Выполните компьютерное моделирование и постройте графики $x(t)$ и $u(t)$ замкнутой системы при начальных условиях $x(0) = [1 \ 1 \ 1 \ 1]^T$.
- Сделайте выводы.

Матрицы A и B, желаемые спектры $\sigma(A + BK)$:

$$A = \begin{bmatrix} -2 & 0 & 0 & 0 \\ 0 & 1 & 0 & 0 \\ 0 & 0 & 4 & 3 \\ 0 & 0 & -3 & 4 \end{bmatrix} \quad B = \begin{bmatrix} 0 \\ 2 \\ 0 \\ 5 \end{bmatrix} \quad \begin{matrix} \{-2, -2, -2, -2\} \\ \{-2, -20, -200, -200\} \\ \{-2, -20, 3i, -3i\} \\ \{-2, -20, -4 + 3i, -4 - 3i\} \end{matrix}$$

Решение:

Собственные числа матрицы A:

$$\begin{aligned} \lambda_{1,2} &= 4 \pm 3i \\ \lambda_3 &= -2 \\ \lambda_4 &= 1 \end{aligned}$$

Далее проверяем управляемость каждого собственного числа:

$$\begin{aligned} \text{rank}([A - \lambda_1 I \ B]) &= 4 \\ \text{rank}([A - \lambda_2 I \ B]) &= 4 \\ \text{rank}([A - \lambda_3 I \ B]) &= 3 \neq 4 \Rightarrow \text{число неуправляемо} \\ \text{rank}([A - \lambda_4 I \ B]) &= 4 \end{aligned}$$

Следовательно, система неуправляема, но стабилизируема, так как неуправляемое собственное число $\lambda_3 = -2 < 0$, т. е. устойчиво.

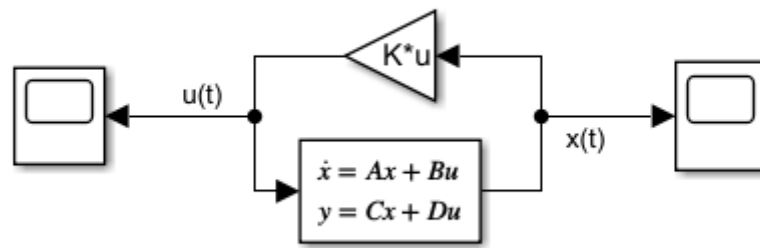


Рисунок 1. Схема моделирования

Для желаемого спектра $\{-2, -2, -2, -2\}$ найдем матрицу регулятора К:

Сначала построим матрицу с желаемыми собственными числами:

$$G = \begin{bmatrix} -2 & 1 & 0 & 0 \\ 0 & -2 & 1 & 0 \\ 0 & 0 & -2 & 1 \\ 0 & 0 & 0 & -2 \end{bmatrix}$$

Далее через решение уравнения Сильвестра определяем матрицу Y:

$$AP - PG = BY$$

$$Y = [0 \quad 1 \quad 1 \quad 1]$$

После находим матрицу регулятора К:

$$K = -YP^+ = [0 \quad -0,75 \quad -3,9 \quad -2,7]$$

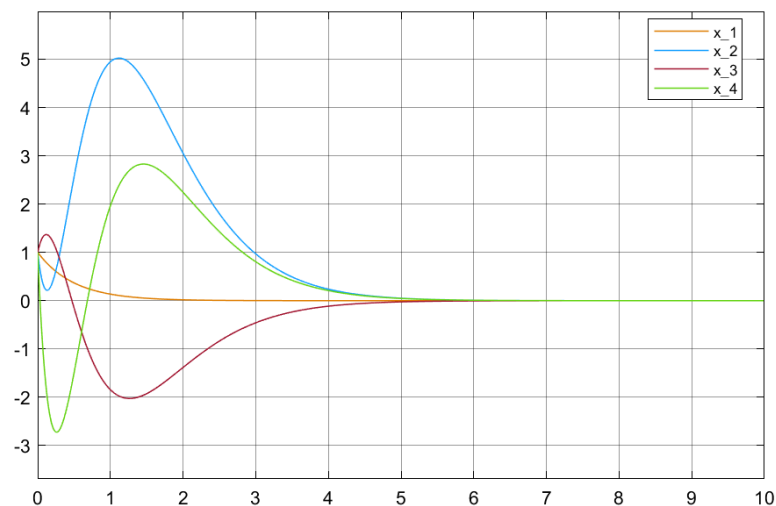


Рисунок 2. Графики $x(t)$ замкнутой системы при начальных условиях $x(0) = [1 \ 1 \ 1 \ 1]^T$

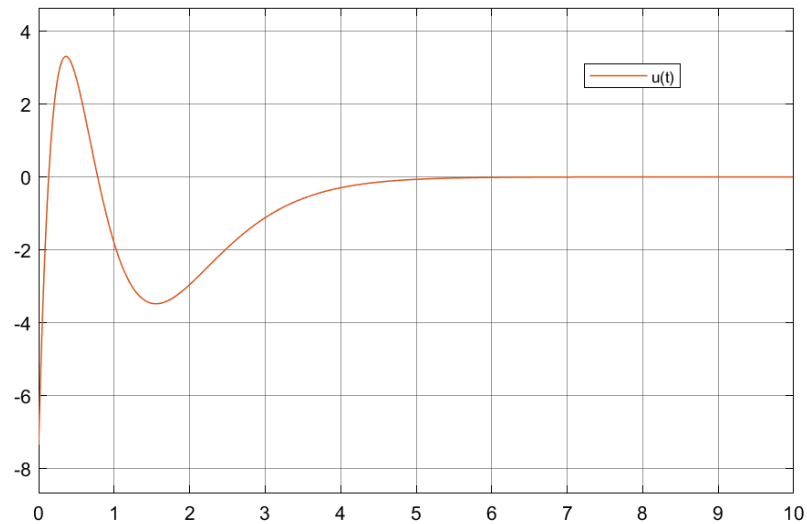


Рисунок 3. График $u(t)$ замкнутой системы

Далее выполним аналогичные действия для нахождения матрицы K для остальных желаемых спектров.

Спектр $\{-2, -20, -200, -200\}$

$$G = \begin{bmatrix} -2 & 0 & 0 & 0 \\ 0 & -20 & 0 & 0 \\ 0 & 0 & -200 & 1 \\ 0 & 0 & 0 & -200 \end{bmatrix}$$

$$AP - PG = BY$$

$$Y = [0 \quad 1 \quad 1 \quad 1]$$

$$K = -YP^+ = [0 \quad -0,75 \quad -3,9 \quad -2,7]$$

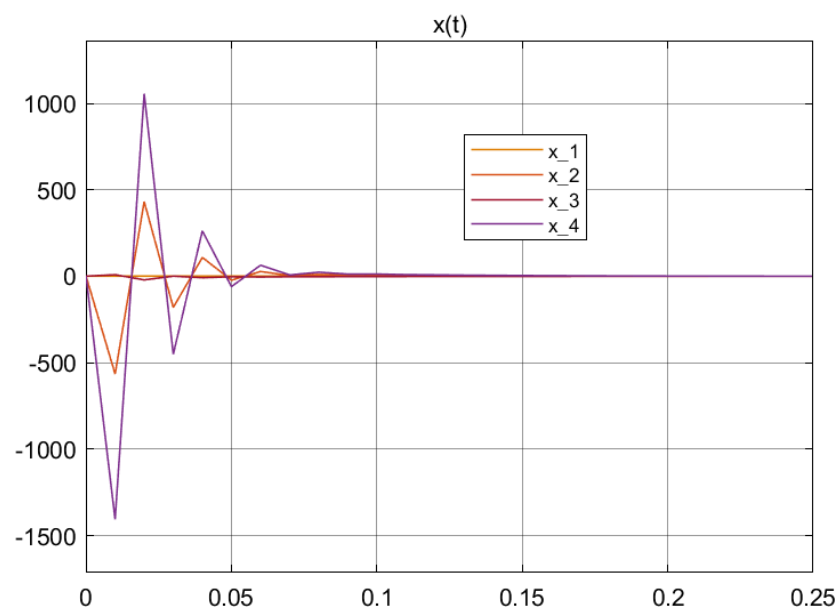


Рисунок 4. Графики $x(t)$ замкнутой системы при начальных условиях $x(0) = [1 \ 1 \ 1 \ 1]^T$

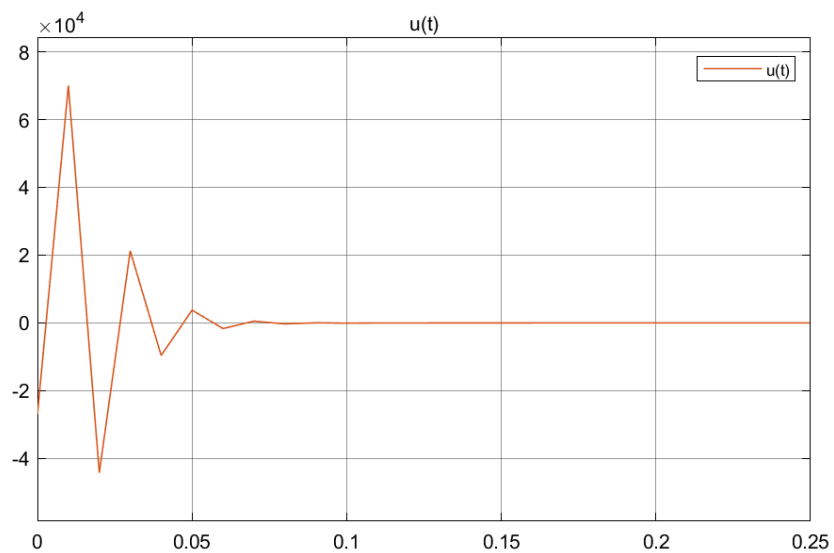


Рисунок 5. График $u(t)$ замкнутой системы

Спектр $\{-2, -20, 3i, -3i\}$

$$G = \begin{bmatrix} -2 & 0 & 0 & 0 \\ 0 & -20 & 0 & 0 \\ 0 & 0 & 0 & 3 \\ 0 & 0 & -3 & 0 \end{bmatrix}$$

$$AP - PG = BY$$

$$Y = [0 \quad 1 \quad 1 \quad 1]$$

$$K = -YP^+ = [0 \quad -0,75 \quad -3,9 \quad -2,7]$$

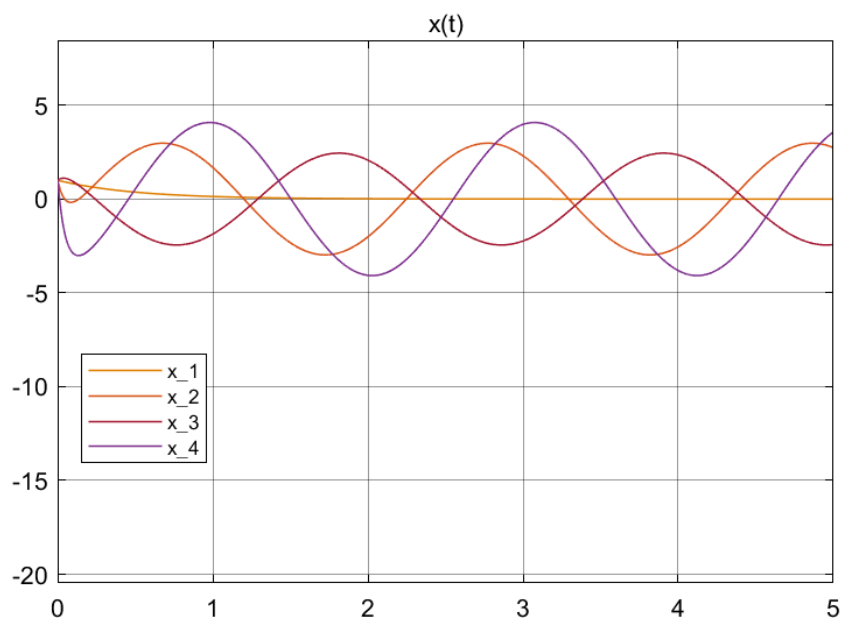


Рисунок 6. Графики $x(t)$ замкнутой системы при начальных условиях $x(0) = [1 \ 1 \ 1 \ 1]^T$

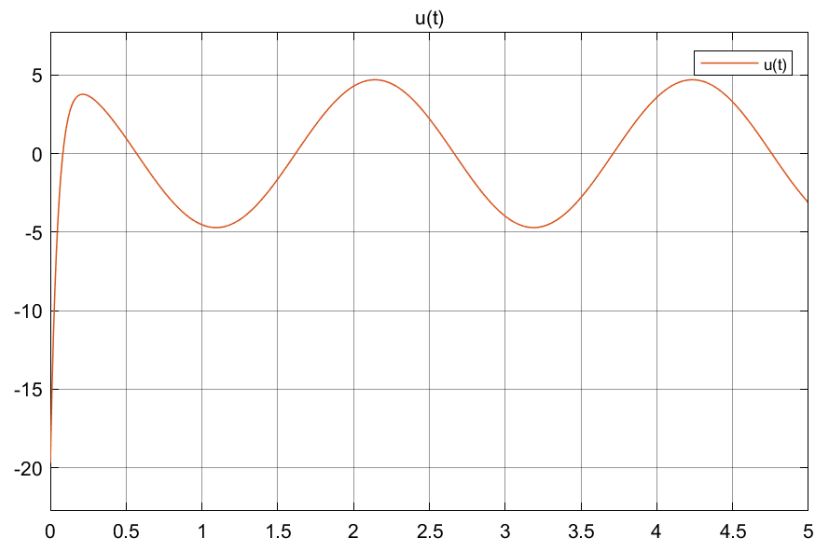


Рисунок 7. График $u(t)$ замкнутой системы

Спектр $\{-2, -20, -4 + 3i; -4 - 3i\}$

$$G = \begin{bmatrix} -2 & 0 & 0 & 0 \\ 0 & -20 & 0 & 0 \\ 0 & 0 & -4 & 3 \\ 0 & 0 & -3 & -4 \end{bmatrix}$$

$$AP - PG = BY$$

$$Y = [0 \quad 1 \quad 1 \quad 1]$$

$$K = -YP^+ = [0 \quad -0,75 \quad -3,9 \quad -2,7]$$

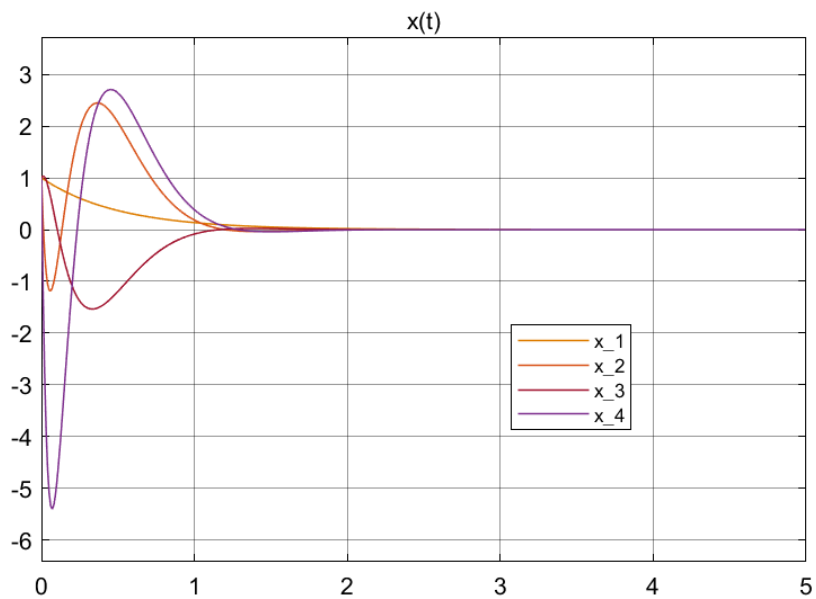


Рисунок 8. Графики $x(t)$ замкнутой системы при начальных условиях $x(0) = [1 \ 1 \ 1 \ 1]^T$

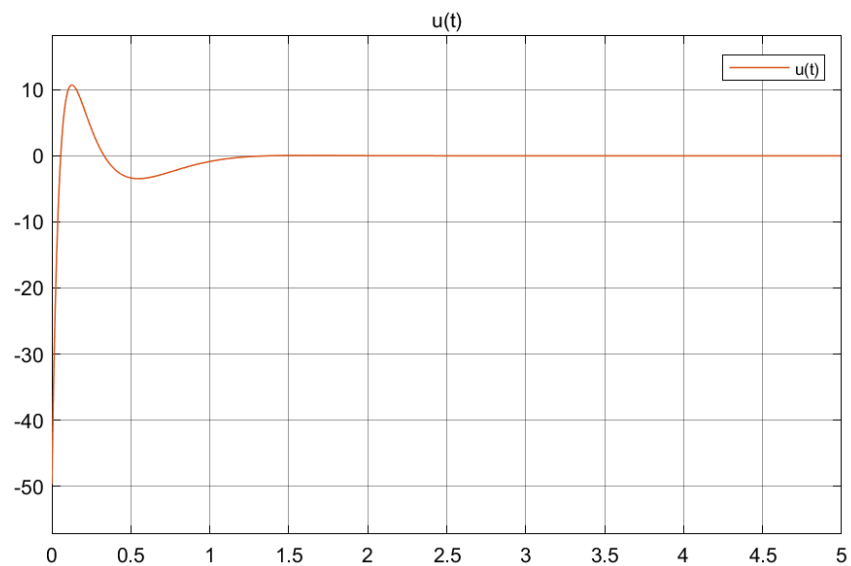


Рисунок 9. График $u(t)$ замкнутой системы

Вывод: при больших собственных значениях необходимо большое воздействие на системы, в таких случаях очень сложно избежать перерегулирование, например, как вышло со вторым спектром.

Задание №2

Возьмите матрицы A и C из таблицы 2 в соответствии с вашим вариантом и рассмотрите систему:

$$\dot{x} = Ax \quad y = Cx.$$

Выполните следующие шаги и приведите в отчёте результаты всех вычислений, схемы моделирования, графики и выводы:

- Найдите собственные числа матрицы A и определите наблюдаемость каждого из них. Сделайте вывод о наблюдаемости и обнаруживаемости системы.
- Постройте схему моделирования системы $\dot{x} = Ax$, $y = Cx$ с наблюдателем состояния $\dot{\hat{x}} = A\hat{x} + L(C\hat{x} - y)$.
- Для каждого желаемого спектра матрицы $A + LC$ из таблицы 2:
 - Найдите соответствующую матрицу наблюдателя L.
 - Выполните моделирование с начальными условиями $x(0) = [1 \ 1 \ 1 \ 1]^T$ и $\hat{x}(0) = [2 \ 0 \ 0 \ -1]^T$. Постройте сравнительные графики $x(t)$ и $\hat{x}(t)$, а также график ошибки наблюдателя $e(t) = x(t) - \hat{x}(t)$.
- Сделайте выводы.

Матрицы A, C и желаемые спектры $\sigma(A + LC)$:

$$A = \begin{bmatrix} 0 & 4 & 0 & 0 \\ -4 & 0 & 0 & 0 \\ 0 & 0 & 0 & 2 \\ 0 & 0 & -2 & 0 \end{bmatrix} \quad C^T = \begin{bmatrix} 3 \\ 0 \\ 0 \\ 2 \end{bmatrix} \quad \begin{matrix} \{-2, -2, -2, -2\} \\ \{-2, -20, -200, -200\} \\ \{-2, -20, 3i, -3i\} \\ \{-2, -20, -4 + 3i; -4 - 3i\} \end{matrix}$$

Решение:

Собственные числа матрицы A:

$$\begin{aligned} \lambda_{1,2} &= \pm 4i \\ \lambda_{3,4} &= \pm 2i \end{aligned}$$

Далее проверяем наблюдаемость каждого собственного числа:

$$\begin{aligned} \text{rank} \left(\begin{bmatrix} A - \lambda_1 I \\ C \end{bmatrix} \right) &= 4 \\ \text{rank} \left(\begin{bmatrix} A - \lambda_2 I \\ C \end{bmatrix} \right) &= 4 \end{aligned}$$

$$\text{rank} \begin{pmatrix} A - \lambda_3 I \\ C \end{pmatrix} = 4$$

$$\text{rank} \begin{pmatrix} A - \lambda_4 I \\ C \end{pmatrix} = 4$$

Все собственные числа наблюдаемы, а значит и система полностью наблюдаема. Следовательно, и обнаруживаема.

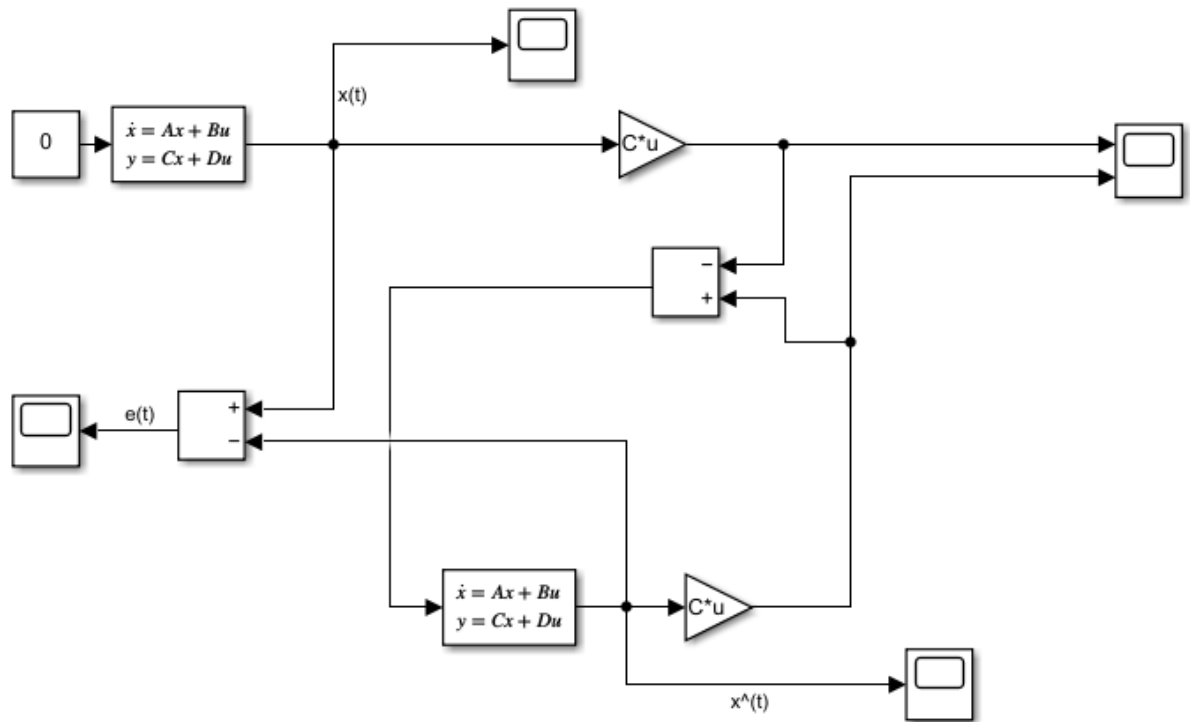


Рисунок 10. Схема моделирования

Для желаемого спектра $\{-2, -2, -2, -2\}$ найдем матрицу наблюдателя L:

Сначала построим матрицу с желаемыми собственными числами:

$$G = \begin{bmatrix} -2 & 1 & 0 & 0 \\ 0 & -2 & 1 & 0 \\ 0 & 0 & -2 & 1 \\ 0 & 0 & 0 & -2 \end{bmatrix}$$

Далее через решение уравнения Сильвестра определяем матрицу Q:

$$Y = [1 \ 1 \ 1 \ 1]$$

$$GQ - QA = YC$$

После находим матрицу наблюдателя L:

$$L = Q^{-1}Y = \begin{bmatrix} -2,667 \\ -0,778 \\ -1,333 \\ 0 \end{bmatrix}$$

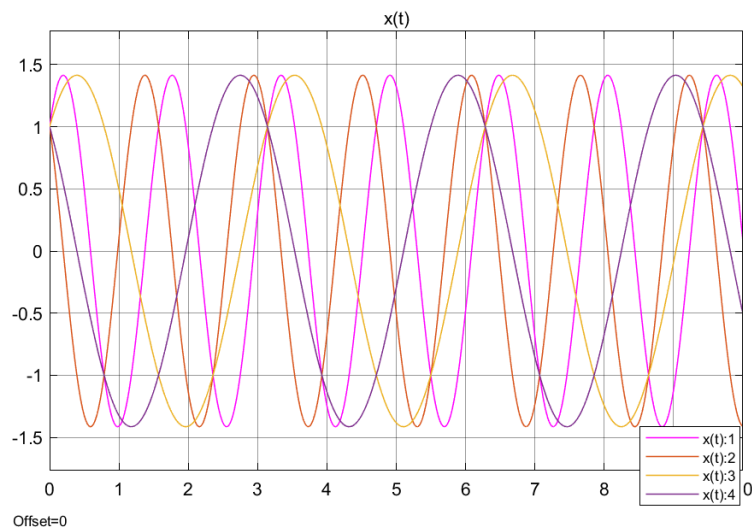


Рисунок 11. Графики $x(t)$ при $x(0) = [1 \ 1 \ 1 \ 1]^T$

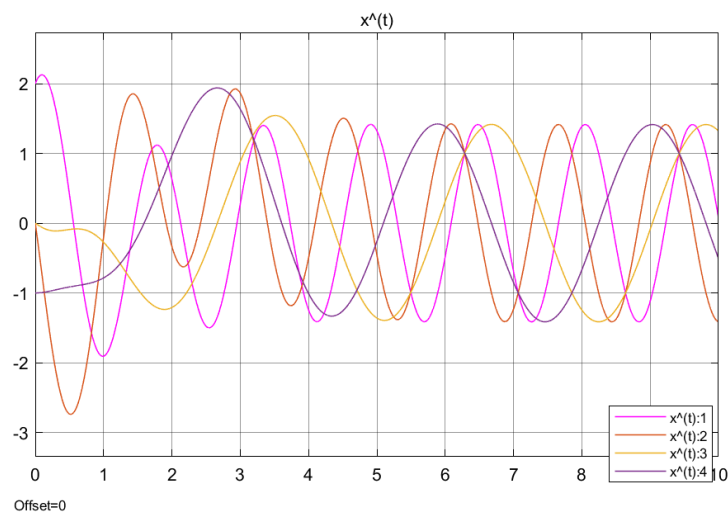


Рисунок 12. Графики $\hat{x}(t)$ при $\hat{x}(0) = [2 \ 0 \ 0 \ -1]^T$

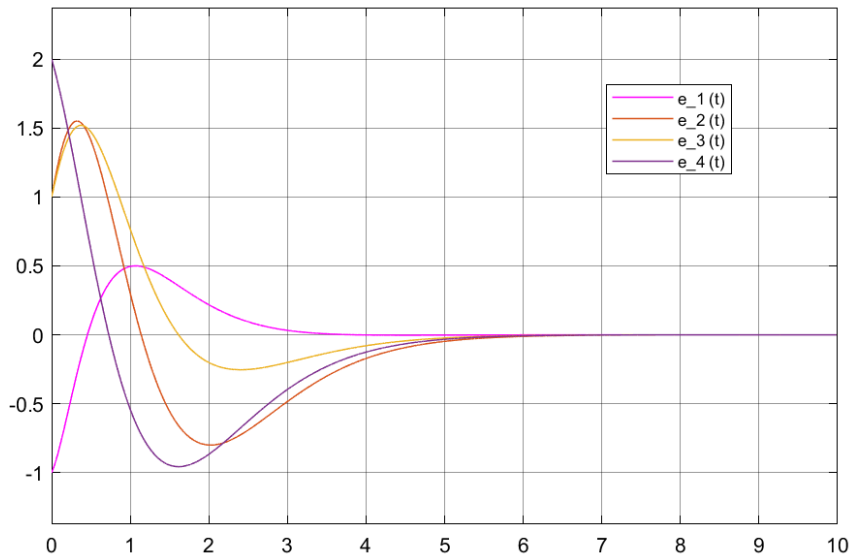


Рисунок 13. Графики ошибки наблюдателя $e(t)$

$$\begin{aligned} e_1(t) &= x_1(t) - \hat{x}_1(t), \\ e_2(t) &= x_2(t) - \hat{x}_2(t), \\ e_3(t) &= x_3(t) - \hat{x}_3(t), \\ e_4(t) &= x_4(t) - \hat{x}_4(t). \end{aligned}$$

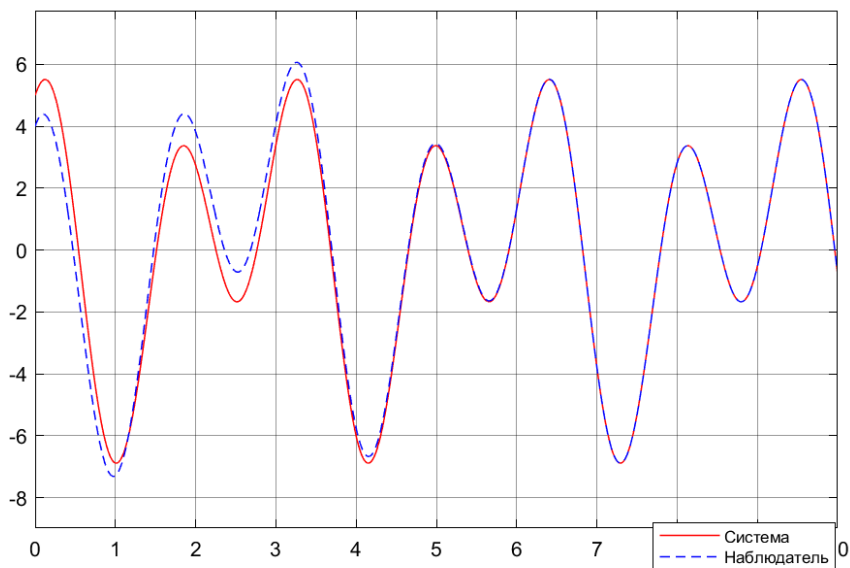


Рисунок 14. График выхода системы и наблюдателя

Далее выполним аналогичные с целью определения наблюдателя для других желаемых спектров.

Спектр $\{-2, -20, -200, -200\}$

$$G = \begin{bmatrix} -2 & 0 & 0 & 0 \\ 0 & -20 & 0 & 0 \\ 0 & 0 & -200 & 1 \\ 0 & 0 & 0 & -200 \end{bmatrix}$$

$$Y = \begin{bmatrix} 1 & 1 & 1 & 1 \end{bmatrix}$$

$$GQ - QA = YC$$

$$L = Q^{-1}Y = 10^4 \cdot \begin{bmatrix} 2,4701 \\ 0,5686 \\ 2,9264 \\ -3,7263 \end{bmatrix}$$

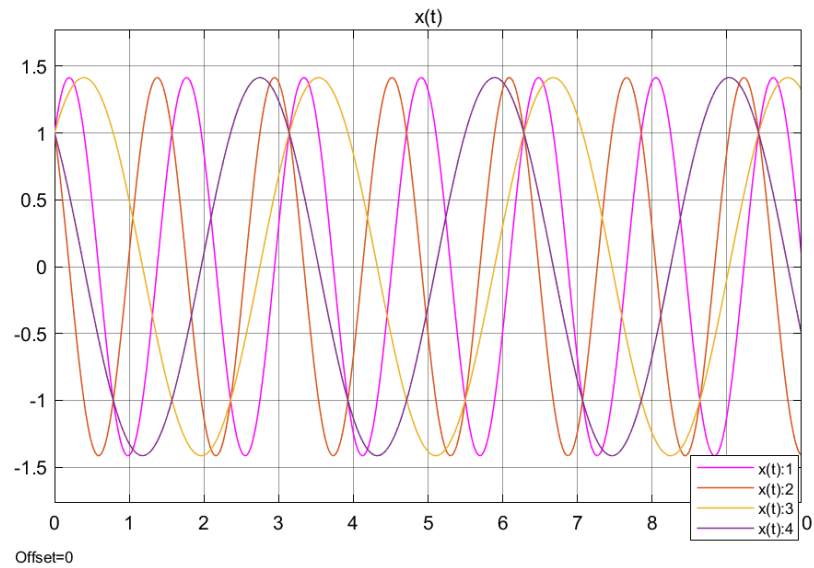


Рисунок 15. Графики $x(t)$ при $x(0) = [1 \ 1 \ 1 \ 1]^T$

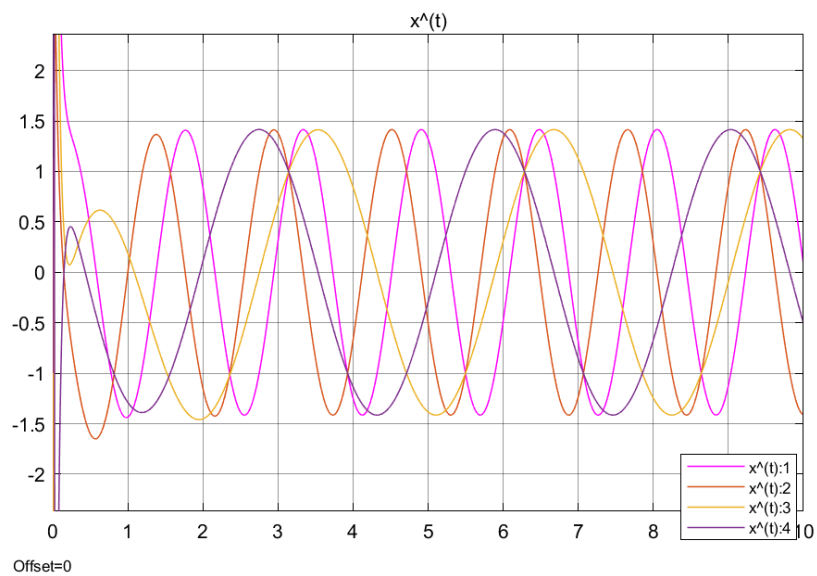


Рисунок 16. Графики $\hat{x}(t)$ при $\hat{x}(0) = [2 \ 0 \ 0 \ -1]^T$

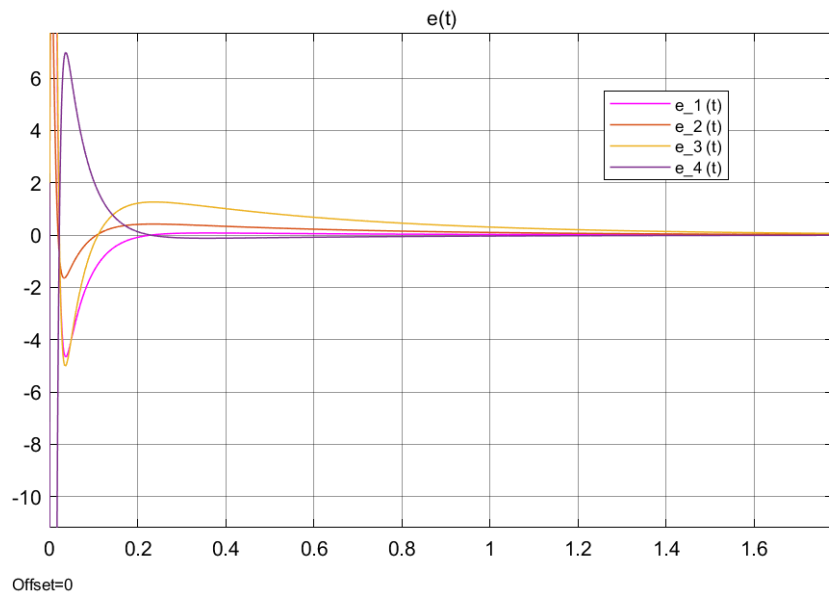


Рисунок 17. Графики ошибки наблюдателя $e(t)$

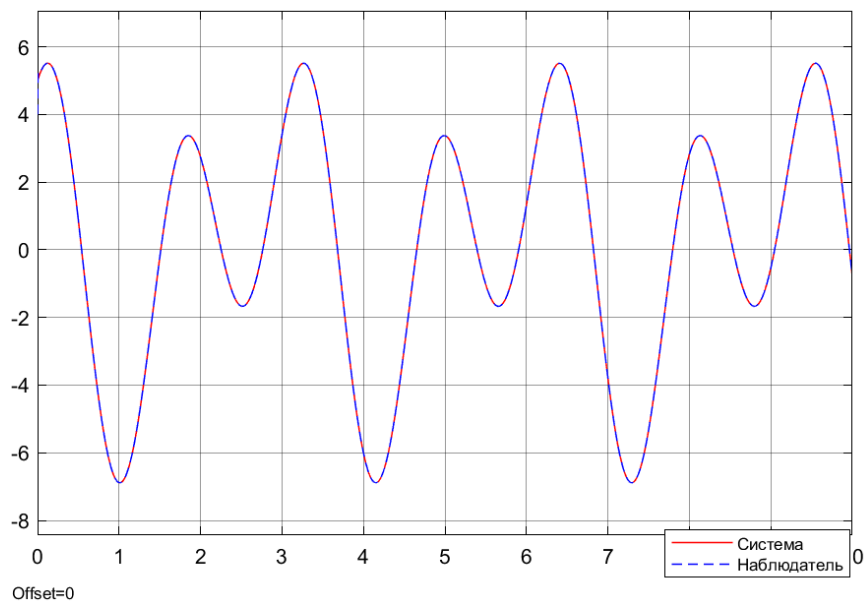


Рисунок 18. График выхода системы и наблюдателя

Спектр $\{-2, -20, 3i, -3i\}$

$$G = \begin{bmatrix} -2 & 0 & 0 & 0 \\ 0 & -20 & 0 & 0 \\ 0 & 0 & 0 & 3 \\ 0 & 0 & -3 & 0 \end{bmatrix}$$

$$Y = [1 \ 1 \ 1 \ 1]$$

$$GQ - QA = YC$$

$$L = Q^{-1}Y = \begin{bmatrix} -4,2778 \\ -1,1667 \\ 3,75 \\ -4,5833 \end{bmatrix}$$

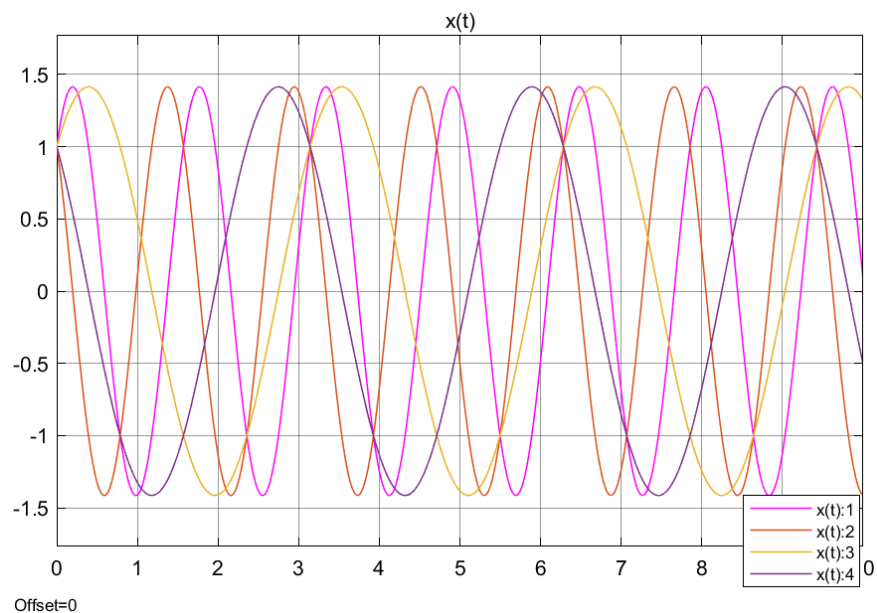


Рисунок 19. Графики $x(t)$ при $x(0) = [1 \ 1 \ 1 \ 1]^T$

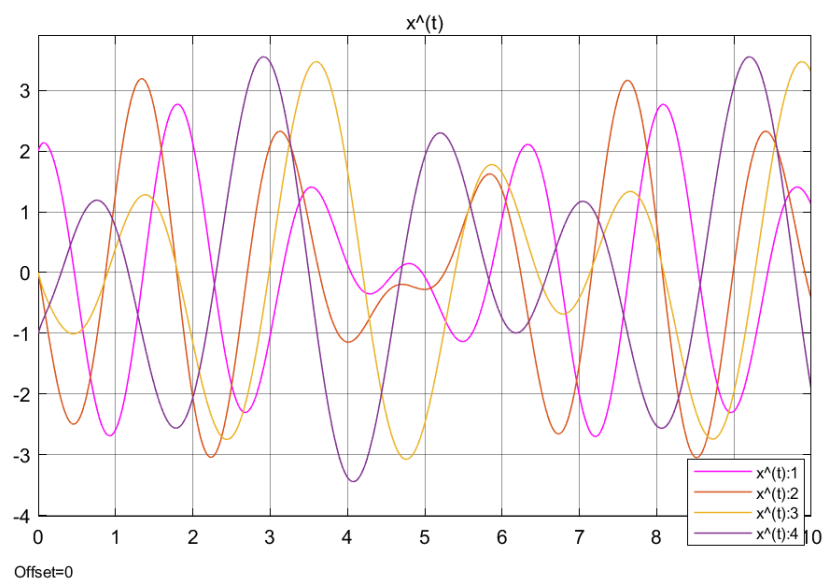


Рисунок 20. Графики $\hat{x}(t)$ при $\hat{x}(0) = [2 \ 0 \ 0 \ -1]^T$

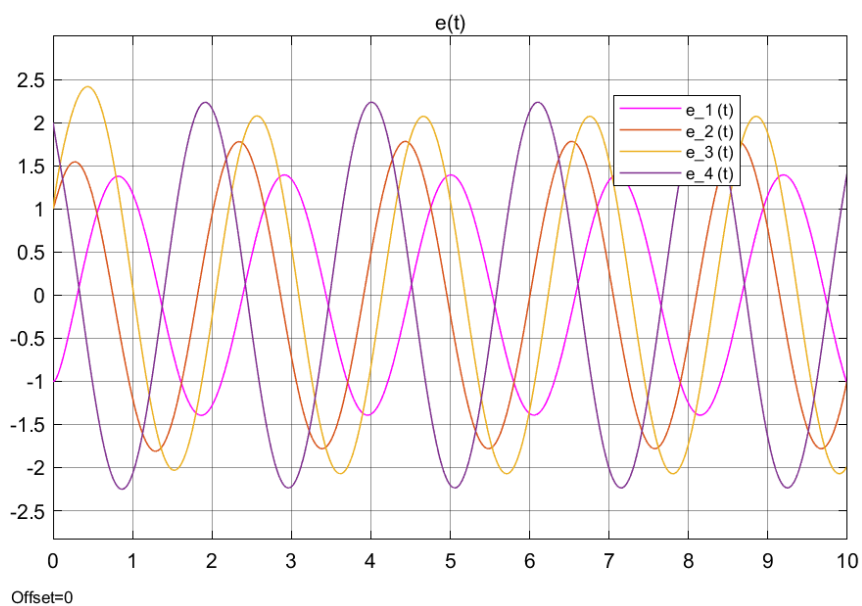


Рисунок 21. Графики ошибки наблюдателя $e(t)$

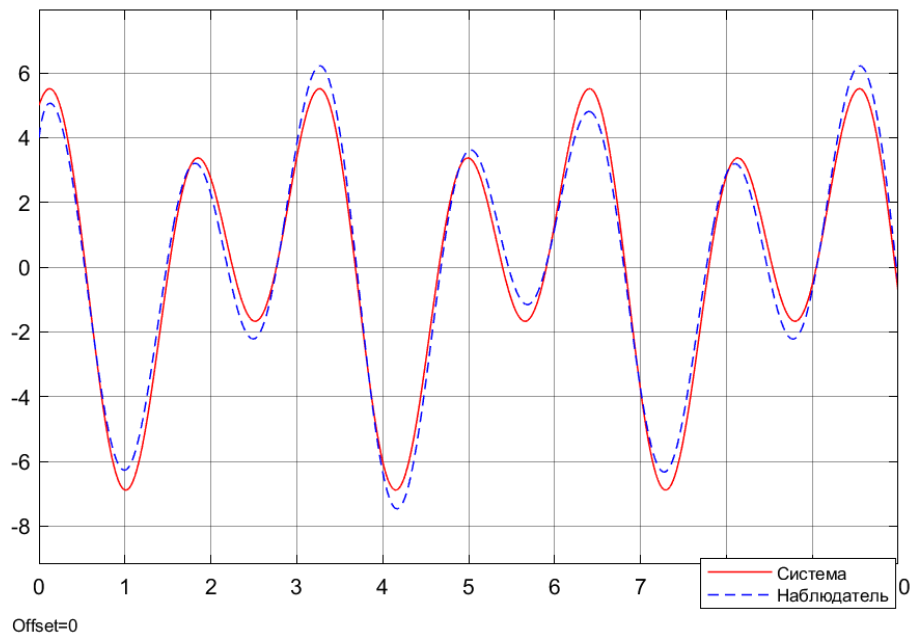


Рисунок 22. График выхода системы и наблюдателя

Спектр $\{-2, -20, -4 + 3i; -4 - 3i\}$

$$G = \begin{bmatrix} -2 & 0 & 0 & 0 \\ 0 & -20 & 0 & 0 \\ 0 & 0 & -4 & 3 \\ 0 & 0 & -3 & -4 \end{bmatrix}$$

$$Y = [1 \ 1 \ 1 \ 1]$$

$$GQ - QA = YC$$

$$L = Q^{-1}Y = \begin{bmatrix} 10,8333 \\ -18,0556 \\ 1,0833 \\ -31,25 \end{bmatrix}$$

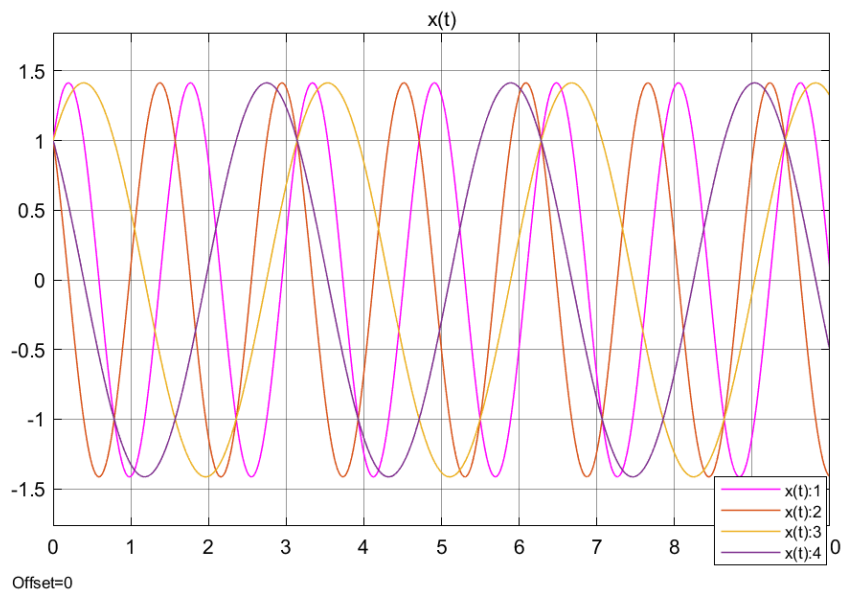


Рисунок 23. Графики $x(t)$ при $x(0) = [1 \ 1 \ 1 \ 1]^T$

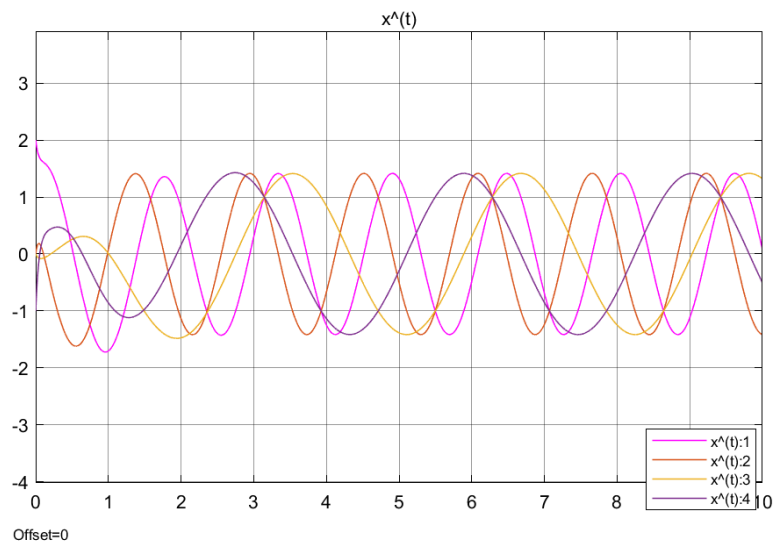


Рисунок 24. Графики $\hat{x}(t)$ при $\hat{x}(0) = [2 \ 0 \ 0 \ -1]^T$

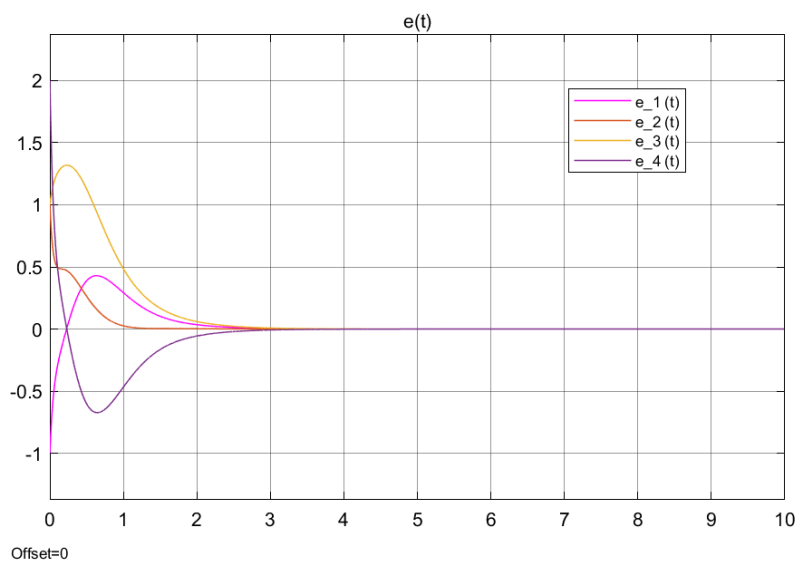


Рисунок 25. Графики ошибки наблюдателя $e(t)$

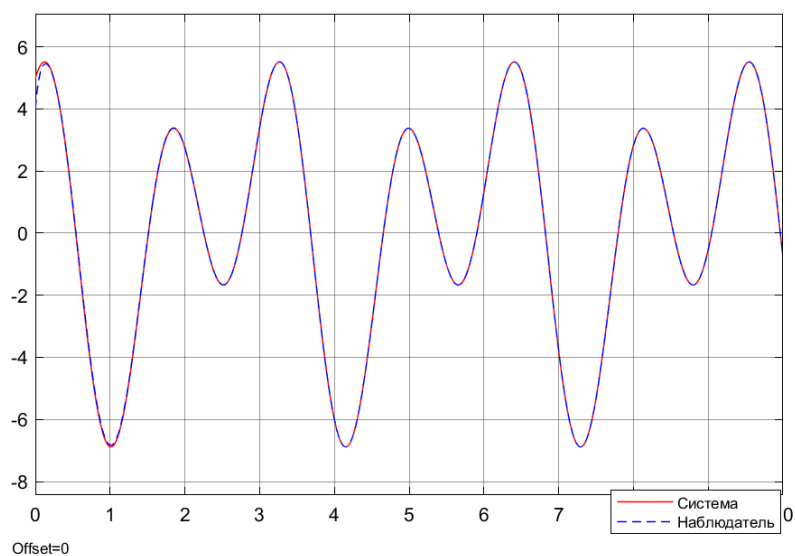


Рисунок 26. График выхода системы и наблюдателя

Вывод: при большом воздействии на систему наблюдатель практически сразу «догоняет» систему.

Задание №3

Возьмите матрицы A , B и C из таблицы 3 в соответствии с вашим вариантом и рассмотрите систему:

$$\begin{cases} \dot{x} = Ax + Bu, \\ y = Cx. \end{cases}$$

Выполните следующие шаги и приведите в отчёте результаты всех вычислений, схемы моделирования, графики и выводы:

- Найдите собственные числа матрицы A .
Определите управляемость и наблюдаемость каждого из них.
Сделайте вывод об управляемости, наблюдаемости, стабилизируемости и обнаруживаемости системы.
- Постройте схему моделирования приведённой системы с регулятором, состоящим из наблюдателя состояния $\dot{\hat{x}} = A\hat{x} + Bu + L(C\hat{x} - y)$ и закона управления $u = K\hat{x}$.
- Задайтесь желаемыми спектрами матриц $A + BK$ и $A + LC$ такими, чтобы замкнутая система была устойчива. Найдите соответствующие матрицы K и L .
- Задайтесь начальными условиями и выполните моделирование.
Постройте графики $x(t), \hat{x}(t), y(t), \hat{y}(t) = C\hat{x}(t), u(t), e(t) = x(t) - \hat{x}(t)$.
- Сделайте выводы.

Матрицы A , B и C :

$$A = \begin{bmatrix} 5 & -7 & -5 & 1 \\ -7 & 5 & -1 & 5 \\ -5 & -1 & 5 & 7 \\ 1 & 5 & 7 & 5 \end{bmatrix} \quad B = \begin{bmatrix} 14 \\ 10 \\ 6 \\ 2 \end{bmatrix} \quad C = \begin{bmatrix} 1 & -1 & 3 & 3 \\ 2 & 2 & -2 & 2 \end{bmatrix}$$

Решение:

Сначала определяем собственные числа матрицы A :

$$\begin{aligned} \lambda_1 &= -8 \\ \lambda_2 &= 8 \\ \lambda_3 &= 4 \\ \lambda_4 &= 16 \end{aligned}$$

Далее проверяем управляемость каждого собственного числа:

$$\text{rank}([A - \lambda_1 I \ B]) = 4$$

$$\text{rank}([A - \lambda_2 I \ B]) = 4$$

$$\text{rank}([A - \lambda_3 I \ B]) = 4$$

$$\text{rank}([A - \lambda_4 I \ B]) = 4$$

Все собственные числа управляемы, следовательно система наблюдаема стабилизируема.

Далее проверяем наблюдаемость каждого собственного числа:

$$\text{rank} \left(\begin{bmatrix} A - \lambda_1 I \\ C \end{bmatrix} \right) = 3 \Rightarrow \text{собственное число ненаблюдаемо}$$

$$\text{rank} \left(\begin{bmatrix} A - \lambda_2 I \\ C \end{bmatrix} \right) = 4$$

$$\text{rank} \left(\begin{bmatrix} A - \lambda_3 I \\ C \end{bmatrix} \right) = 4$$

$$\text{rank} \left(\begin{bmatrix} A - \lambda_4 I \\ C \end{bmatrix} \right) = 4$$

Так как λ_1 – ненаблюдаемое устойчивое собственное число, то система ненаблюдаемая полностью, но обнаруживаема.

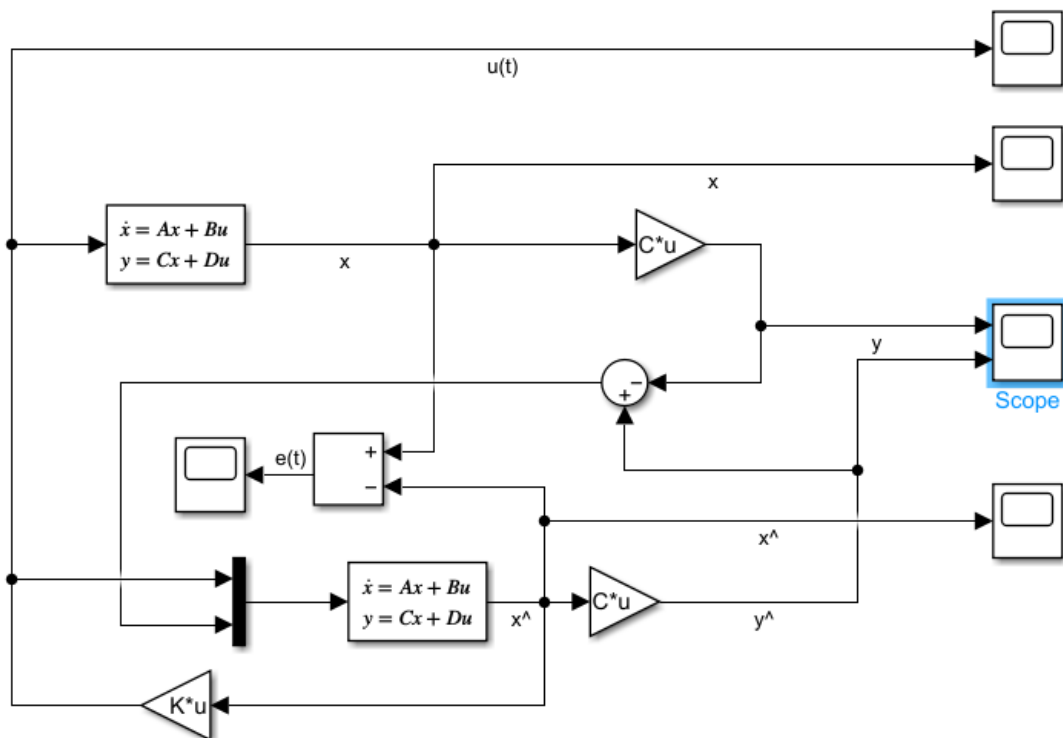


Рисунок 27. Схема моделирование

Желаемый спектр матриц: $\{-8, -3, -2, -1\}$

Значит, матрица G равна:

$$G = \begin{bmatrix} -8 & 0 & 0 & 0 \\ 0 & -3 & 0 & 0 \\ 0 & 0 & -2 & 0 \\ 0 & 0 & 0 & -1 \end{bmatrix}$$

С помощью уравнения Сильвестра определим матрицы P и Q:

$$\begin{aligned} A * P - P * G &= B * Y1 \\ G * Q - Q * A &= Y * C \end{aligned}$$

Далее вычислим матрицы регулятора K и наблюдателя L:

$$L = Q^{-1} Y = \begin{bmatrix} 18.4609 & 18.4609 \\ -19.5547 & -19.5547 \\ -10.7266 & -10.7266 \\ -11.8203 & -11.8203 \end{bmatrix}$$

$$K = -Y1 * P^{-1} = [17.5000 \quad -17.9375 \quad -12.3438 \quad -12.7813]$$

Постройте графики $x(t), \hat{x}(t), y(t), \hat{y}(t) = C\hat{x}(t), u(t),$
 $e(t) = x(t) - \hat{x}(t).$

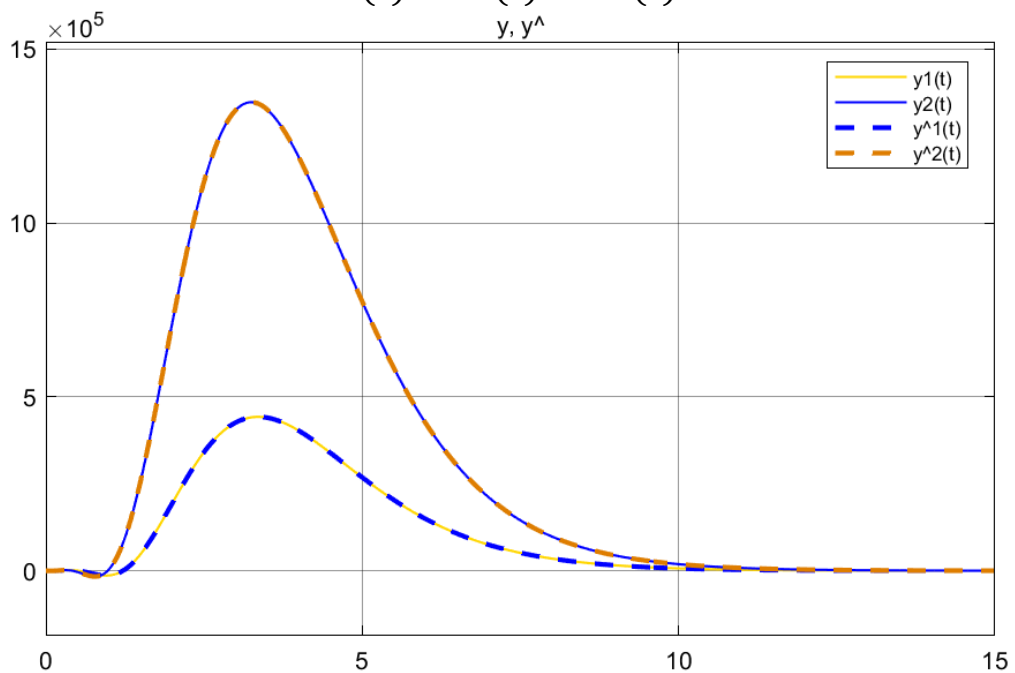


Рисунок 28. Графики выхода системы $y(t)$ и наблюдателя $\hat{y}(t)$

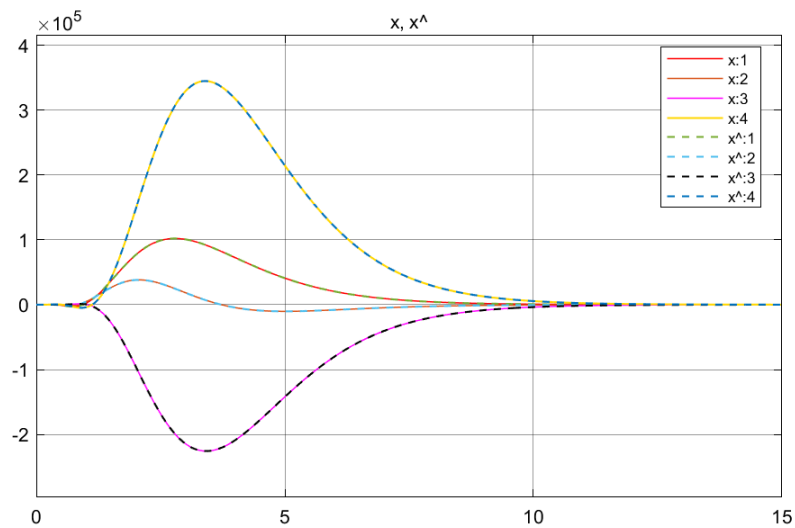


Рисунок 29. Графики $x(t)$ и $\hat{x}(t)$

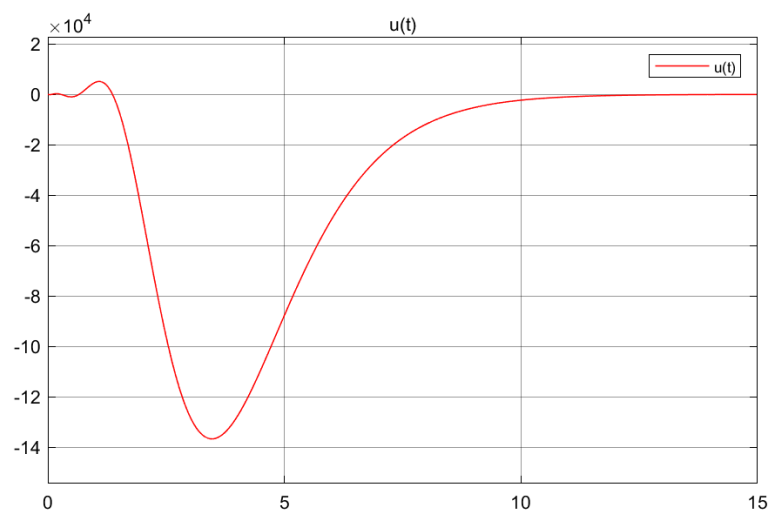


Рисунок 30. График $u(t)$

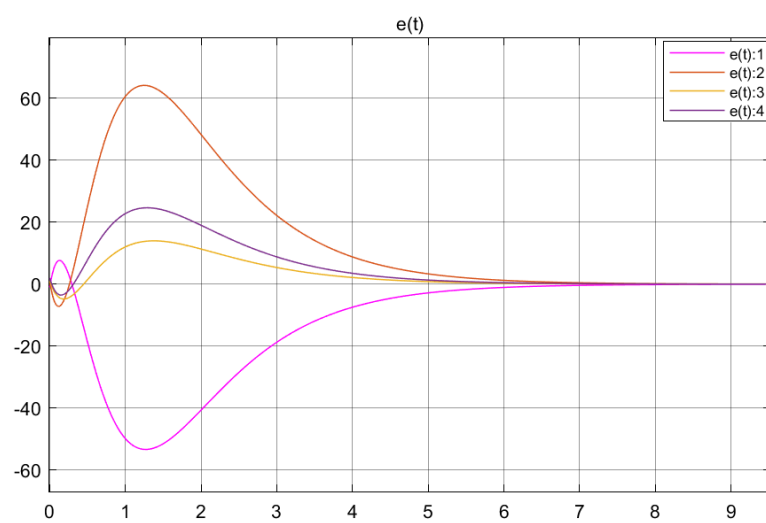


Рисунок 31. График ошибки $e(t)$

Вывод: графики ошибок сходятся к 0, а графики выходов, $x(t)$ и $\hat{x}(t)$ сходятся, следовательно, работа выполнена верно.